

# ГЕНЕРАЦИЯ КЛАСТЕРОВ ПРИ СВОБОДНОМ РАСШИРЕНИИ МОЛЕКУЛЯРНЫХ ГАЗОВ В ВАКУУМ

**A. A. Востриков\*, Д. Ю. Дубов**

Институт теплофизики Сибирского отделения Российской академии наук  
630090, Новосибирск, Россия

Поступила в редакцию 2 июня 2003 г.

На основе реальных свойств кластеров — размерных зависимостей энталпии и энтропии образования кластеров, каталитического действия кластеров на скорость термализации колебательной энергии молекул — проведены расчеты образования и роста кластеров  $(N_2O)_N$  и  $(CO_2)_N$  при истечении газов через звуковое сопло в вакуум. Установлена связь между параметрами газов  $N_2O$  и  $CO_2$  в сопловом источнике, в струе с кластерами и параметрами кластированного молекулярного пучка, сформированного из осевой части струи. Проведено сравнение рассчитанных и экспериментально измеренных параметров кластированных пучков — интенсивности, плотности потока мономолекулярной компоненты пучков, параметров подобия для перехода к развитой конденсации в струе, функции распределения кластеров по размерам, среднего размера кластеров, внутренней температуры кластеров. Учет реальных свойств кластеров обеспечил хорошее согласие данных расчета и экспериментов и адекватное описание механизмов генерации молекулярных кластеров в сверхзвуковых струях за звуковым соплом, для которых характерна предельно высокая скорость понижения температуры газа и сильно неравновесное распределение энергии по степеням свободы молекул.

PACS: 36.40.-c, 39.10.+j, 82.60.Nh

## 1. ВВЕДЕНИЕ

Целью данной работы является описание генерации кластеров при свободном расширении молекулярных газов в вакуум, а также параметров кластированного пучка, сформированного из осевой части струи. Несмотря на значительный интерес к проблеме генерации кластеров при объемной конденсации газов в сверхзвуковых струях [1, 2], практически неисследованными остаются следующие вопросы: влияние размерных свойств кластеров на развитие конденсации в струе и влияние неравновесного характера расширения молекулярных газов в струе на формирование кластеров.

При свободном расширении газа в вакуум реализуются максимально высокие скорости уменьшения температуры газа ( $\sim 10^6$  К/с). Несмотря на быстрое падение плотности газа в струе ( $n_j \sim (d_*/x)^2$ , где  $d_*$  — диаметр отверстия звукового сопла,  $x$  — расстояние от среза сопла вдоль оси струи), при определенных значениях давления  $P_0$  и температуры  $T_0$

газа в сопловом источнике это приводит к возникновению очень высокого пересыщения и началу конденсации [3]. Кинетика начальной стадии объемной конденсации газа описывается теорией гомогенного зародышеобразования [4–6]. При высоком пересыщении зародышами конденсации являются кластеры из нескольких молекул. В этих условиях применение жидкокапельной модели [4–6] для описания образования и эволюции кластеров становится некорректным [7, 8]. Наряду с этим из-за быстрого падения плотности  $n_j$  возникает сильная неравновесность в распределении энергии по степеням свободы молекул: вниз по струе последовательно «замораживается» релаксация колебательных, затем вращательных и — при переходе к бесстолкновительному расширению — поступательных степеней свободы [9, 10]. При слипании молекул в кластеры процессы релаксации внутренних степеней свободы вновь «включаются» [11–15], что задерживает развитие конденсации в струе [16].

Учитывая, что метод газодинамического (соплового) пучка широко используется для исследова-

\*E-mail: vostrikov@itp.nsc.ru

ния фундаментального явления природы — конденсации — и свойств слабосвязанных молекулярных кластеров, существует потребность в описании взаимосвязи между параметрами газа в сопловом источнике, параметрами конденсирующегося газа в струе и параметрами кластированного пучка. В данной работе предложена модель конденсации, в основу которой положены размерные свойства кластеров, и выполнены расчеты генерации кластеров  $(N_2O)_N$  и  $(CO_2)_N$  при свободном расширении газа в вакуум, которые позволили установить связь между названными выше параметрами. Проведено сравнение расчетов с результатами пучковых измерений.

## 2. МОДЕЛЬ РАСЧЕТА

В основу расчета положены результаты измерений энталпии связи молекулы в малых кластерах,  $h$ , полученные в эксперименте [17, 18] для кластеров  $(N_2O)_N$  и  $(CO_2)_N$  в зависимости от размера кластера  $N$ . Эти зависимости позволяют выразить ключевую величину теории конденсации — работу образования кластера,  $\Delta G(N)$ , [4–6] — через его реальные физические параметры. Действительно, в изотермическом случае

$$\Delta G(N) = -Nh(N) + T\Delta S(N), \quad (1)$$

где  $-Nh(N)$  и  $\Delta S(N)$  — соответственно, изменение энталпии и энтропии при образовании кластера в газе при температуре  $T$  и давлении  $P$ , температура кластера  $T_C = T$ .

Изменение энтропии при конденсации  $N$  молекул в кластер можно представить в виде суммы изменения энтропии внутренних и внешних степеней свободы. Изменение энтропии поступательного и вращательного движений учитывалось явным образом, так как оно связано лишь с изменением числа этих степеней свободы. Энтропия межмолекулярных колебаний в кластере принималась равной энтропии колебаний в жидкости с учетом уменьшения количества колебательных степеней, так как при характерной для образования кластеров температуре в струе, 100–150 К, кластеры размером  $N < 10$  являются «жидкими» [19–21]. Для более крупных кластеров учитывался фазовый переход («отвердевание») и связанный с ним скачок энталпии и энтропии кластера. Итоговое выражение для  $\Delta G(N)$  имеет вид [7, 8]

$$\Delta G = -N(h - L) + (N - 1)k_B T \ln \frac{P_l^0}{P} - T\Delta S_c^g - (T_m - T)\Theta N \frac{L}{T}. \quad (2)$$

Здесь  $k_B$  — постоянная Больцмана;  $P_l^0$  — константа размерности давления, равная предэкспоненциальному множителю в выражении для давления насыщения над плоской поверхностью жидкой фазы;  $T_m(N)$  и  $L(N)$  — соответственно, температура и энталпия плавления кластера;  $\Theta = 0$  при  $T > T_m$  и  $\Theta = 1$  при  $T < T_m$ ;  $\Delta S_c^g$  — различие энтропии поступательных и вращательных степеней свободы кластера и молекулы, связанное с различием в масах и моментах инерции, а для линейных молекул  $CO_2$  и  $N_2O$  также с дополнительной вращательной степенью свободы кластера.

Для малых кластеров (до  $N \approx 10$ ) энталпию фазового перехода можно положить равной нулю [19–21], тогда выражение (2) упрощается:

$$\Delta G = -Nh + (N - 1)k_B T \ln \frac{P_l^0}{P} - T\Delta S_c^g. \quad (3)$$

Из (3) следуют несколько важных выводов.

1. Зависимость  $\Delta G$  от  $N$  определяется двумя первыми слагаемыми, а  $\Delta S_c^g$  слабо зависит от  $N$ , но снижает величину  $\Delta G$ .
2. Причиной активационного барьера (максимума на зависимости  $\Delta G(N)$ ) при образовании малых кластеров является конкуренция «энталпийного»,  $-Nh$ , и «энтропийного»,

$$(N - 1)k_B T \ln \frac{P_l^0}{P} - T\Delta S_c^g,$$

слагаемых. Энергетически связывание молекул в кластер всегда выгодно, однако кластеризации препятствует уменьшение энтропии при переходе молекул в связанное состояние.

3. Основной «энтропийный» член в выражении (3) можно переписать в виде

$$k_B T(N - 1) \ln(v_g/v_l),$$

где  $v_g = k_B T/P$  — удельный объем, приходящийся на молекулу в газовой фазе,  $v_l \equiv k_B T/P_l^0$  — по смыслу есть координатная часть удельного фазового объема молекулы в жидкости. Таким образом, фазовый объем молекулы в малом кластере в данной модели считается равным фазовому объему молекулы в жидкости.

4. Тепловое движение кластера как целого привело к появлению в (3) множителя  $N - 1$  в «энтропийном» слагаемом. Таким образом, для малых кластеров учет внешних степеней свободы заметно понижает энтропию образования кластера. В то же

время вклад этих степеней в изменение энталпии составляет величину порядка  $k_B T$ , что значительно меньше  $Nh$ . Такой учет теплового движения кластера представляется более корректным, чем подходы, предложенные в работах [4, 5].

В (2) и (3) не учитывается зависимость  $P_l^0(T)$ , так как изменение  $P_l^0(T)$  незначительно из-за низкой величины температуры газа в струе. В расчетах при фиксированных значениях температуры газа в сопловом источнике,  $T_0$ , и изменении давления газа,  $P_0$ , не учитывалась также зависимость  $h(T)$ , так как ее влияние на конденсацию существенно только для малых кластеров, формирование которых ограничено узкой областью струи, где изменение температуры не превышает 20 К.

Следуя методике, предложенной в работе [22], конденсация газа в струе представлялась в виде двух взаимосвязанных процессов. Первый процесс — это образование зародышей конденсации размером  $N = N_*$ . Скорость зародышеобразования вычислялась на основе уравнений классической кинетики [23]. Второй процесс — это рост размера кластеров, начиная с  $N = N_*$ . Скорость роста таких кластеров определялась по разности потоков молекул: из газовой фазы на кластер и испаряющихся с кластера. Поток молекул на кластер рассчитывался в приближении свободно-молекулярного режима и сферической симметрии кластера. Давление насыщения над кластером  $P_C$ , от величины которого зависит поток испаряющихся молекул, находилось из условия

$$\left[ \frac{\partial \Delta G}{\partial N} \right]_{P=P_C, T=T_C} = 0 \quad (4)$$

и выражения (2). Температура кластера  $T_C$  определялась по разнице прямого и обратного потоков энергии, т. е. по величине энергии, выделяемой при конденсации молекул на кластере, и энергии, уносимой испаряющимися с кластера молекулами. Поскольку испаряющиеся молекулы находятся в тепловом равновесии с кластером, то энергия, уносимая каждой молекулой, равна

$$\begin{aligned} h'(N) - \left( \frac{C_P^C}{N} - \xi k_B \right) T_C, \\ h'(N) = \frac{d(Nh(N))}{dN}, \end{aligned} \quad (5)$$

где  $h'(N)$  — энталпия отрыва молекулы от кластера,  $C_P^C$  — теплоемкость внутренних степеней свободы кластера. Коэффициент  $\xi$  учитывает немаксвелловский характер распределения скоростей молекул, испаряющихся с кластера. Для молекулы с двумя вращательными степенями свободы  $\xi = 3$  [24].

Аналогично, энергия, выделяемая молекулой при конденсации, равна

$$h'(N) + \xi k_B T - \frac{C_P^C}{N} T_C.$$

В рамках данных предположений было получено следующее выражение для скорости изменения размера кластера:

$$\frac{dN}{dt} = \nu_N \frac{\xi k_B (T_C - T)}{(h'(N) - (C_P^C/N - \xi k_B)T)}. \quad (6)$$

Здесь  $\nu_N$  — частота столкновения молекул с кластером, для которой имеем:

$$\nu_N = \sqrt{\frac{N+1}{N}} \sigma_1 (1 + rN^{2/3})^2 \frac{4P}{\sqrt{2\pi mk_B T}}, \quad (7)$$

где  $\sigma_1$  — газокинетическое сечение молекулы,  $m$  — масса молекулы,  $r$  — константа, учитывающая неплотную упаковку молекул в кластере, которая рассчитывалась по плотности молекул в жидкости. Физическое содержание (6) состоит в следующем. Вследствие выделения теплоты конденсации температура растущего кластера всегда выше температуры газа. При этом с повышением температуры  $T_C$  экспоненциально быстро увеличивается поток испаряющихся молекул. В результате устанавливается такая температура  $T_C$ , при которой прямой и обратный потоки энергии компенсируют друг друга. Поэтому скорость роста кластера в объеме пересыщенного газа определяется, главным образом, теплообменом с газом, куда отводится тепло конденсации. В связи с этим заметим, что даже слабая примесь легко конденсирующихся молекул в основном газе, например,  $H_2O$  в  $CO_2$ ,  $CO_2$  в  $N_2$ , может инициировать преждевременную конденсацию основного газа, так как в условиях хорошего теплоотвода примесь быстро слипается в кластеры, которые становятся зародышами конденсации основного газа. В результате в струе образуются гетеромолекулярные (смешанные) кластеры [25–27]. Скорость теплообмена пропорциональна величине  $\nu_N$  и разности  $T_C - T$ . Поэтому второй множитель в выражении (6) определяет долю конденсирующихся молекул относительно полного числа молекул, сталкивающихся с кластером. В расчетах принято, что сталкивающиеся с кластером молекулы приходят в тепловое равновесие с кластером, так как полученная при этом доля молекул, остающихся в кластере, соответствует экспериментальным данным. Например, в работе [28] в условиях сверхзвукового расширения получено, что на кластере

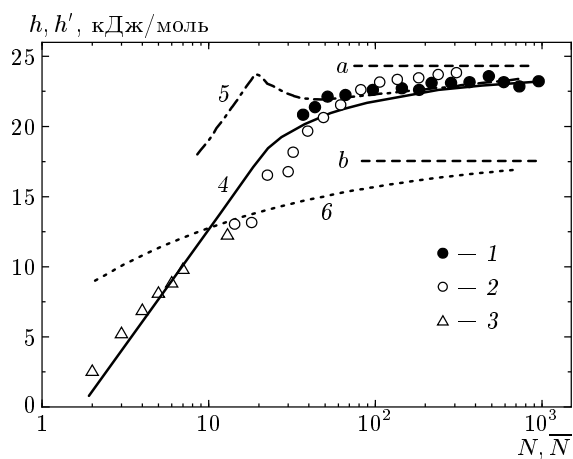


Рис. 1. Размерные зависимости удельной энталпии связи молекул,  $h(N)$ , в кластере  $(N_2O)_N$  (1, 2, 6) и  $(CO_2)_N$  (3) и отрыва молекулы,  $h'(N)$ ,  $N_2O$  от кластера (5). Точки 1, 2 соответствуют  $h(N)$ , точки 3 и кривые 4,5 —  $h'(N)$

$(CO_2)_{n=2-4}$  конденсируется приблизительно 3% сталкивающихся с ним молекул. Это совпадает с полученными нами результатами. Из расчета следует, что с увеличением  $N$  доля конденсирующихся молекул возрастает: при  $N = 10$  конденсируется около 8% молекул.

Зависимости  $L(N)$ ,  $T_m(N)$  в выражении (2) выбирались на основе данных численного моделирования [19]. Варьирование этих зависимостей показало слабое их влияние на результаты расчета конденсации в струе. Зависимость  $h(N)$  в (2) и (3) установлена на основе пучковых болометрических измерений энталпии связи молекул в кластерах  $(CO_2)_N$  и  $(N_2O)_N$  [17, 18] и результатов моделирования малых кластеров из молекул  $CO_2$  [19]. На рис. 1 показаны результаты измерений  $h(\bar{N})$ , полученные при изменении давления  $P_0$  (1) и температуры  $T_0$  (2) газа  $N_2O$ . Треугольниками на рис. 1 нанесены данные расчета [19]. Точки 1–3 были аппроксимированы зависимостью вида

$$h(N) = \begin{cases} B \ln \frac{N}{2} + h_2, & N < N_0, \\ h_S^\infty \left[ 1 - \left( \frac{0.1}{N} \right)^{1/3} - \left( \frac{\omega}{N} \right)^2 \right], & N > N_0. \end{cases} \quad (8)$$

Здесь  $B$  и  $h_2$  — эмпирические параметры,  $h_S^\infty$  — удельная энталпия сублимации, константа  $\omega$  и значение  $N_0$ , при котором «сшиваются» зависимости (8), определялись из условия непрерывности функции  $h(N)$  и ее производной при  $N = N_0$ . Аппро-

ксимирующая зависимость (8) для кластеров  $(N_2O)_N$ , полученная при  $B = 7064$  Дж/моль и  $h_2 = 831$  Дж/моль, соответствует кривой 4 на рис. 1. Для этой кривой по формуле (5) получена зависимость энталпии отрыва молекулы с кластера  $h'(N)$  (кривая 5). Линиями  $a$  и  $b$  показаны, соответственно, энталпия и удельная энталпия испарения жидкого  $N_2O$ . Исходя из представлений жидкокапельной модели образования зародышей конденсации [4], в которой используется понятие поверхностного напряжения кластера, была рассчитана кривая 6 для  $h(N)$ . Коэффициент поверхностного напряжения при расчете кривой 6 принят равным  $2.4 \cdot 10^{-2}$  Н·м<sup>-1</sup>. Это значение получено по формуле (154.9) из работы [29] в пределе низких температур  $T_C$ . Видно, что кривая 6 качественно расходится с экспериментом.

Кроме уравнений, описывающих конденсацию, в расчете использовалась система одномерных газодинамических уравнений, описывающая расширение в приближении невязкого, нетеплопроводного газа. При этом считалось, что газ совершенный и расширяется с показателем адиабаты  $\gamma_0 = 1.3$  до среза сопла и с  $\gamma = 1.4$  в сверхзвуковой части течения. Вклад теплового движения кластеров в давление газа в струе из-за его малой доли (см. ниже) не учитывался. Форма трубки тока задавалась по данным расчетов [30] для  $\gamma = 1.4$ , которые хорошо совпадают с экспериментом, описанным в работе [31], при свободном расширении  $CO_2$  и  $N_2O$  без конденсации. Сброс колебательной энергии молекул и выделение теплоты конденсации при появлении кластеров, конечно, несколько расширяет струю и, как будет показано ниже, в определенной степени влияет на параметры кластеров.

Интенсивность  $J$  кластерированного пучка (плотность потока молекул в пучке) вычислялась в предположении сплошного режима течения до скиммера (полой конической диафрагмы с отверстием, через которое осевая часть струи проходит без возмущений). Предполагалось, что за скиммером частицы движутся без столкновений с одинаковой скоростью  $U$  вдоль оси пучка. В этих условиях и приближении малых углов наблюдения выражение для  $J$  имеет следующий вид [8]:

$$J = J_M + J_C = 0.5 n_j U \varphi^2 \gamma M^2 \times \times \left[ (1 - q_j) + q_j \int_2^\infty N f_j(N) dN \right]. \quad (9)$$

Здесь  $J_M$ ,  $J_C$  — интенсивности пучков, соответственно, свободных молекул и молекул в кластерах,

$n_j U$  — плотность потока молекул на входе в скиммер,  $2\varphi$  — угол, под которым видно отверстие скиммера из точки измерения интенсивности  $J$ ,  $q_j$  — массовая доля конденсата (доля молекул, связанных в кластерах) на входе в скиммер,

$$M = \sqrt{\frac{mU^2}{\gamma k_B T}}$$

— число Маха для молекул,  $f_j(N)$  — функция распределения кластеров по размерам на входе в скиммер, нормированная на единицу.

Функция  $f_j(N)$  рассчитывалась с помощью разбиения всей области образования зародышей конденсации (порядка  $10d_*$  вдоль оси струи) на сто ячеек. Рост кластеров в струе, образовавшихся в каждой из ячеек, рассчитывался отдельно.

### 3. РЕЗУЛЬТАТЫ РАСЧЕТА И СРАВНЕНИЕ С ЭКСПЕРИМЕНТОМ

Исходные параметры для расчета конденсации газов  $N_2O$  и  $CO_2$  в струе за звуковым соплом,  $B$  и  $h_2$  в (8), были определены из сравнения расчетных и экспериментальных зависимостей  $J$  и среднего размера кластеров в пучке  $\bar{N}$  от  $P_0$  при  $T_0 = 285$  К. Наилучшее согласие получено при  $B = 7064, 7479$  Дж/моль и  $h_2 = 831$  и  $997$  Дж/моль, соответственно, для  $N_2O$  и  $CO_2$ . Использованные в расчете конденсации  $N_2O$  зависимости  $h(N)$  и  $h'(N)$  показаны на рис. 1 (соответственно, кривые 4 и 5).

На рис. 2 показано, как изменяются вдоль оси струи  $N_2O$  основные величины, характеризующие газ и кластеры. Условия расчета:  $P_0 = 7 \cdot 10^4$  Па,  $T_0 = 285$  К,  $d_* = 1.0$  мм. Видно, что при этих значениях  $P_0$ ,  $T_0$ ,  $d_*$  образование кластеров в струе начинается вблизи среза сопла,  $x/d_* < 1$ . При этом максимальная скорость образования зародышей конденсации  $I \approx 5 \cdot 10^{27} \text{ м}^{-3} \cdot \text{с}^{-1}$  и минимальный размер зародышей  $N_* \approx 4$  реализуются при  $x/d_* \approx 1.2$ . Столь большое значение  $I$  и малость  $N_*$  объясняются высоким пересыщением газа в струе,  $\varepsilon = P_j/P_s \approx 1000$ , которое достигается из-за предельно высокой скорости уменьшения температуры газа в свободной струе,  $T_j$ . Здесь  $P_j$  — статическое давление газа в точке  $x_j$  на оси струи,  $P_s$  — давление газа на линии насыщения, соответствующее температуре  $T_j$ . Зависимость  $\varepsilon(x/d_*)$ , рассчитанная в предположении изэнтропического расширения газа с  $\gamma_0 = 1.3$  до среза и  $\gamma = 1.4$  за срезом сопла, показана на рис. 2 штриховой линией, а в условиях расширения газа с конденсацией — сплошной. Резкое уменьшение пересыщения газа  $\varepsilon$  в области  $1.2 < x/d_* < 2$  вызвано резким

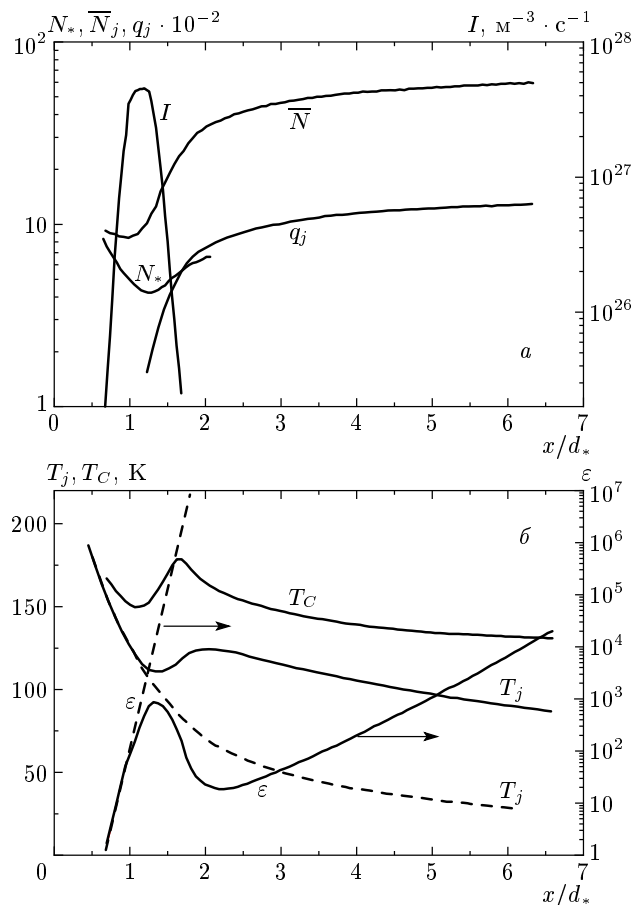


Рис. 2. Изменение критического  $N_*$  и среднего  $\bar{N}_j$  размеров кластеров, массовой доли конденсата  $q_j$ , скорости образования зародышей конденсации  $I$ , пересыщения газа  $\varepsilon$ , температуры газа  $T_j$  и кластеров  $T_C$  вдоль оси струи  $N_2O$

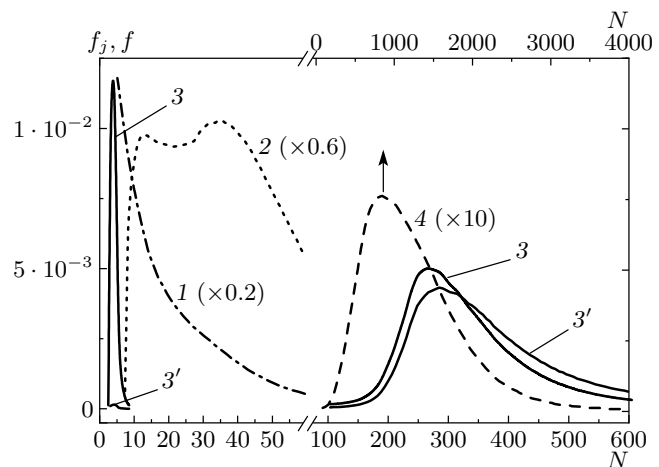
ростом доли конденсата в струе  $q_j$  и соответствующим выделением теплоты конденсации. На рис. 2 видно, что при  $x/d_* > 1.5$  увеличение  $q_j$  и среднего размера кластеров в струе  $\bar{N}_j$  происходит эквидистантно. Это означает, что рост  $q_j$  происходит за счет увеличения  $\bar{N}_j$ , а не числа кластеров. При заданных в расчете значениях  $P_0$ ,  $T_0$ ,  $d_*$  в пределе больших  $x/d_*$  получено  $q_j = 15\%$ ,  $\bar{N}_j = 68$ , что соответствует концентрации кластеров размером  $\bar{N}_j$  около 0.2 %. С увеличением  $P_0$  концентрация кластеров в струе уменьшается, так как зависимость  $\bar{N}_j(P_0)$  расчет быстрее, чем  $q_j(P_0)$ . Выделение теплоты конденсации в струе приводит к нарушению изэнтропического характера изменения  $T_j$ . Зависимость  $T_j(x/d_*)$  показана на рис. 2 сплошной линией, а продолжение сплошной линии при  $x/d_* > 1$  штрихами соответствует изэнтропическому изменению  $T_j$ . Поскольку

теплота конденсации выделяется в кластеры, внутренняя температура кластеров  $T_C > T_j$ . Зависимость  $T_C(x/d_*)$  на рис. 2 рассчитана для кластера размером  $N = \bar{N}_j$  в каждой точке на оси струи. Видно, что величина  $T_C - T_j$  составляет несколько десятков кельвинов. Очевидно, что при образовании в струе сильно связанных атомных кластеров разница  $T_C - T_j$  может составить многие сотни кельвинов. Столь горячие кластеры можно диагностировать по спектру теплового излучения [32].

Отметим, что температура  $T_C$  зависит от энталпии испарения молекулы с кластера  $h'(N)$  (см. формулу (5) и рис. 1). Как видно на рис. 1, зависимость  $h'(N)$  имеет резко выраженный максимум. В максимуме величина  $h'(N)$  близка к энталпии сублимации (прямая  $a$  на рис. 1), т. е. существует область размеров кластеров, обладающих повышенной стабильностью к испарению молекулы. Назовем кластеры такого размера гиперустойчивыми. Расчеты показали, что наличие гиперустойчивых кластеров приводит к появлению резко выраженных максимумов на расчетных зависимостях  $T_C(N)$  для кластеров  $(N_2O)_N$  при  $N \approx 20$ , а для кластеров  $(CO_2)_N$  — при  $N \approx 16$ . При  $N > 30$  температура  $T_C$  далеко от сопла и в пучке слабо зависит от  $N$  и составляет для кластеров  $(N_2O)_N$   $T_C = 94 \pm 2$  К, а для кластеров  $(CO_2)_N$  —  $T_C = 105 \pm 2$  К. Электронографические измерения [33] показали, что кластеры  $(CO_2)_N$  нанометрового размера в струе твердые, а их температура  $T_C = 108 \pm 10$  К, что хорошо согласуется с расчетами  $T_C$  и измерениями  $h(N)$ , проведенными в данной работе (см. рис. 1, 2).

Расчеты показали, что при характерном времени движения кластеров в пучке порядка  $10^{-3}$  с и начальной температуре кластеров на входе в скиммер около 100 К уменьшение  $N$  из-за испарения молекул не превышает одного процента. При этом температура  $T_C$  понижается у кластеров  $(N_2O)_{10}$  до 78 К, а у кластеров  $(N_2O)_{100}$  — до 88 К. В общем случае нельзя исключать также влияние на  $N$  и  $T_C$  лучистого теплообмена. На величину  $N$  и  $T_C$  низкотемпературных слабосвязанных кластеров может влиять излучение теплых стенок вакуумной камеры. Для сильно связанных атомных кластеров, начальная температура которых высокая, необходимо учитывать собственное излучение. Например, нами обнаружено тепловое излучение кластеров  $C_{60}$ , при этом потеря энергии на излучение пропорциональна  $T_C^5$  [34].

Важными характеристиками процессов конденсации газа в струе и формирования кластированных пучков являются функции распределения кластеров



**Рис. 3.** Функции распределения кластеров  $(N_2O)_N$  по размерам, рассчитанные для двух значений  $x/d_* = 3$  (1), 100 (2, 3) и  $P_0 = 3.7 \cdot 10^4$  (1, 2),  $8.5 \cdot 10^4$  Па (3, 3') на оси струи (1, 2, 3) и в пучке (3'). Также показана измеренная в работе [36] функция  $f(N)$  в пучке  $(N_2O)_N$  (кривая 4)

по размерам в струе,  $f_j(N)$ , и в пучке,  $f(N)$ . Знание этих функций необходимо для корректного описания размерных зависимостей сечений различных процессов с участием кластеров [35].

На рис. 3 показаны функции распределения кластеров  $(N_2O)_N$  по размерам в струе  $f_j(N)$  (кривые 1, 2, 3) и в пучке  $f(N)$  (кривые 3', 4). Кривые 1, 2, 3, 3' получены при одинаковых значениях  $T_0 = 285$  К и  $d_* = 1$  мм, но разных значениях  $x/d_*$  и  $P_0$ . Кривым 1, 2 соответствует  $P_0 = 3.7 \cdot 10^4$  Па,  $x/d_* = 3$  (1), 100 (2). Кривые 3 и 3' получены при  $P_0 = 8.5 \cdot 10^4$  Па,  $x/d_* = 100$  (3) и при большом удалении от скиммера в пучке ( $\varphi \ll 1$ , см. (9)) (кривая 3'). Кривая 4 — это основной купол  $f(N)$ , который получен в работе [36] масс-спектрометрическим методом при  $P_0 = 3.2 \cdot 10^5$  Па,  $T_0 = 215$  К,  $d_* = 0.35$  мм.

На рис. 3 (кривая 1) видно, что вблизи среза сопла функция  $f_j(N)$  монотонно убывает с ростом  $N$ . Подобное поведение функции наблюдается при стационарной конденсации [23]. Однако по мере увеличения расстояния от сопла  $f_j(N)$  приобретает куполообразную форму. При этом, если  $\bar{N}_j < 60$ , то на кривых  $f_j(N)$  наблюдается небольшой локальный минимум (см. кривую 2). Двугорбый вид кривой 2 объясняется наличием кластеров гиперустойчивого размера (см. кривую 5 на рис. 1). При увеличении  $\bar{N}_j$  форма куполов  $f_j(N)$  и  $f(N)$  становится все более правильной (см. кривые 3 и 3' на рис. 3). Однако у функций  $f_j(N)$  и  $f(N)$  появляется шлейф

из мелких кластеров ( $N < 10$ ) (см. кривые 3, 3'). Такая трансформация  $f_j(N)$  и  $f(N)$  следует из поведения зависимостей  $I$ ,  $\varepsilon$ ,  $T_C$  (см. рис. 2) и плотности газа в струе от  $x/d_*$ . На рис. 2 видно, что после уменьшения  $I$  при увеличении  $x/d_*$  отношение  $q_j/\bar{N}_j \approx \text{const}$ , т. е. размер кластеров увеличивается, а количество кластеров практически не изменяется. Зародыши конденсации, которые образуются вдали от сопла, не успевают вырасти из-за сильного уменьшения плотности газа. Эти зародыши конденсации формируют шлейф функций  $f_j(N)$  и  $f(N)$ . Из сравнения шлейфов  $f_j(N)$  и  $f(N)$  (см. кривые 3 и 3' на рис. 3) видно, что в пучке шлейф практически исчезает, а сама функция  $f(N)$  смещается в сторону больших  $N$ . Эти изменения связаны с эффектом обогащения пучка более тяжелыми кластерами из-за их меньшего поперечного разлета (поперечная тепловая скорость частиц в пучке  $v_\perp \propto (mN)^{-1/2}$ ). Из формулы (9) легко получить, что  $f(N) \propto N f_j(N)$ , а увеличение  $\bar{N}$  зависит от ширины функции  $f_j(N)$ :  $\bar{N} - \bar{N}_j = \delta_j \bar{N}_j$ , где  $\delta_j$  — относительная дисперсия распределения кластеров по размерам. Расчет  $\delta_j(N_j)$  показал, что при  $x/d_* = 100$  величина  $\delta_j$  изменяется немонотонно от 0.3 до 0.7 [7, 8].

Обнаруженные при расчете особенности  $f(N)$  наблюдаются в экспериментах [2, 36, 37]. Однако при их интерпретации не учитывается процесс формирования исходной функции  $f_j(N)$  в струе. Так, например, в работе [37] была предложена модель, в которой формирование купола  $f(N)$  объяснялось коагуляцией мелких кластеров в струе. Однако даже при высокой вероятности слипания кластеров при столкновении [38] из-за малости частоты их столкновений в струе,

$$\nu_{N-N} \approx \frac{\nu_N N^{1/6} q_j}{\bar{N}},$$

влияние коагуляции кластеров на  $f(N)$  мало. Слипание зародышей конденсации также не может вызвать резкий рост размера кластеров. Из-за сильной зависимости  $h$  от  $N$  (см. рис. 1) при слипании кластеров резко увеличивается температура  $T_C$ , что вызывает испарение молекул. Оценки показывают, что коагуляция не ускоряет рост  $\bar{N}$  в сравнении с мономолекулярной конденсацией.

Отметим, что шлейф функции  $f(N)$  из мелких кластеров в экспериментальных наблюдениях главным образом является следствием условий эксперимента. Он присутствует, например, если измерения  $f(N)$  проводятся непосредственно на выходе из скиммера, т. е., по существу, в струе (см. кривые 3 и 3' на рис. 3). При масс-спектрометрической регистрации кластеров, ионизованных электронным уда-

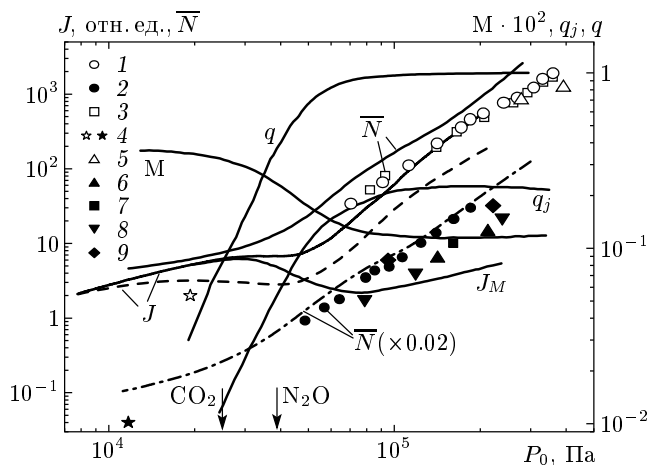
ром, источником шлейфа является фрагментация кластеров и эжекция из крупных кластеров мелких кластерных ионов [36, 39, 40].

На рис. 3 видно, что ширина расчетной зависимости  $f(N)$  (кривая 3') заметно меньше измеренной (кривая 4). Это ожидаемое различие связано с тем, что в газодинамической части расчета не учитывается дополнительное расширение струи из-за выделения теплоты конденсации при появлении кластеров.

Нами проведены также сравнительные расчеты параметров кластеров в струе и пучке с использованием упрощенного метода [22]. В работе [22] считалось, что скорость роста кластеров пропорциональна  $N^{2/3}$ , т. е. площади поверхности кластера. В этом случае можно не следить за функцией  $f_j(N)$ , что упрощает расчет. Оказалось, что такое упрощение заметно ухудшает согласие результатов расчета и экспериментов. Это объясняется сложным видом функции  $f_j(N)$  (см. рис. 3). Поэтому все приведенные ниже результаты получены с помощью расчетов, учитывающих формирование функции  $f_j(N)$ .

Наиболее надежно измеряемым параметром кластированных пучков является интенсивность пучка [41], так как для ее измерения не требуется первичная ионизация кластеров. Интенсивность пучка, как следует из выражения (9), чувствительна к началу и развитию конденсации в струе. Поэтому сравнение результатов расчета и экспериментов мы проводили, прежде всего, по зависимостям  $J$  от  $P_0$  и  $T_0$ . Отметим, что для получения слабосвязанных кластеров молекулярных газов в широком диапазоне  $\bar{N}$  необходимы крупногабаритные установки, обеспечивающие высокие скорости откачки газа, истекающего из сопла. Наша пучковая установка — крупномасштабный генератор молекулярных пучков со встроенными криогенными вакуумными насосами [42] — позволяет исследовать кластерообразование молекулярных газов в широком диапазоне  $\bar{N}$  в зависимости от  $P_0$ ,  $T_0$ ,  $d_*$  [18, 25, 39, 43]. Полученные на этой установке данные использованы ниже для сравнения с расчетами.

На рис. 4 сплошными линиями показаны расчетные зависимости  $q_j$ ,  $M$  в струе  $N_2O$  при  $x/d_* = 100$ , а также  $J$ ,  $J_M$ ,  $\bar{N}$  и доли конденсата  $q = (J - J_M)/J$  в пучке  $N_2O$  на большом удалении от скиммера ( $\varphi \ll 1$ , см. (9)). Штриховой линией показана экспериментально измеренная зависимость  $J(P_0)$ . Эти зависимости получены при  $T_0 = 285$  K,  $d_* = 1$  мм. Кривые  $J(P_0)$  на рис. 4 совмещены на начальном участке. Для  $CO_2$  получены подобные зависимости, поэтому на рис. 4 для  $CO_2$  приведена только рас-



**Рис. 4.** Расчетные зависимости числа Маха  $M$ , доли конденсата  $q_j$  в струе и  $q$  в пучке, полной интенсивности  $J$  и мономолекулярной компоненты  $J_M$  пучка, среднего размера кластеров  $\bar{N}$  в пучке  $N_2O$  (сплошные линии) и среднего размера кластеров  $(CO_2)_N$  (штрих-пунктирная линия) от давления газа в сопловом источнике. Также показаны экспериментальная зависимость  $J(P_0)$  для пучка  $N_2O$  (штриховая линия) и измеренные значения  $\bar{N}$  кластеров  $(N_2O)_N$  (светлые точки) и  $(CO_2)_N$  (темные точки). Вертикальные стрелки — значения давления, соответствующие началу развитой конденсации в струях  $N_2O$  и  $CO_2$

ченная зависимость  $\bar{N}(P_0)$  (штрих-пунктирная линия), вычислена при  $T_0 = 300$  К,  $d_* = 1.9$  мм. На рис. 4 отдельными точками показаны результаты экспериментальных измерений среднего размера кластеров  $(N_2O)_N$  (светлые точки) и  $(CO_2)_N$  (темные точки). Точки 1–3 получены в настоящей работе методом задерживающего потенциала [35] по току ионов  $(N_2O)_N^+$  (1),  $(CO_2)_N^+$  (2) и  $(N_2O)_N^-$  (3), образующихся в области пересечения пучков кластеров и электронов. Точками 4 отмечено давление, при котором масс-спектрометром зарегистрировано появление димеров  $(N_2O)_2$  [18] и  $(CO_2)_2$  [42]. Результаты измерения другими авторами показаны на рис. 4 точками 5–9. Эти данные были приведены к условиям расчета  $(P_0, T_0, d_*)$  с помощью критериев подобия для одинаковых условий конденсации за звуковым соплом (см. ниже). Точки 5 и 6 получены при масс-спектрометрических измерениях по току соответственно ионов  $(N_2O)_N^+$  [36] и  $(CO_2)_N^+$  [37]. Точки 7 — это измерения  $\bar{N}$  методом задерживающего потенциала по току ионов  $(CO_2)_N^+$  [44]. Точки 8, 9 соответствуют электронографическим измерениям  $\bar{N}$  кластеров  $(CO_2)_N$ , соответственно, в ра-

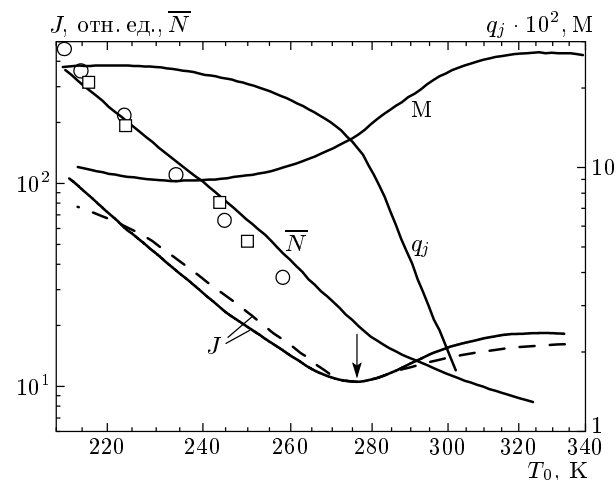
ботах [33] и [45]. Систематическое превышение расчетных величин  $\bar{N}$  над экспериментальными является следствием следующих факторов. В экспериментах неупругое взаимодействие кластера с электроном вызывает уменьшение  $N$  из-за испарения и фрагментации кластера [2, 36, 39]. В расчетах размер  $\bar{N}$  несколько завышен, так как не учитывалось уменьшение полного числа столкновений молекул в струе в области расширения с конденсацией из-за дополнительного расширения струи при термализации на кластерах колебательной энергии молекул и выделении теплоты конденсации. Тем не менее можно говорить о хорошем согласии расчета  $\bar{N}$  с экспериментальными измерениями. Видно также хорошее согласие между расчетом и экспериментом в поведении  $J(P_0)$ . Обсудим это подробнее.

Изгиб на кривых на рис. 4 и уменьшение  $J_M(P_0)$  связаны с конденсацией газа в струе. Увеличение  $q_j(P_0)$  приводит к росту температуры газа в струе (см. рис. 2), что вызывает уменьшение числа Маха (см. рис. 4). Убывание  $M(P_0)$  в области значений  $P_0$ , где размер  $\bar{N}$  мал, замедляет скорость роста  $J(P_0)$  и вызывает уменьшение  $J_M(P_0)$  (см. формулу (9)). С ростом  $\bar{N}$  согласно (9) интенсивность  $J$  будет увеличиваться как  $q_j \bar{N}_j M$ . Расчеты показали, что изгиб на кривых  $J(P_0)$  может выражаться для газов с малой теплотой конденсации и слабой зависимостью  $\bar{N}(P_0)$ , что согласуется с экспериментами [46]. В расчетах величина  $J$  больше, чем в эксперименте. Это объясняется тем, что газодинамическая часть расчета в определенной степени идеализирована. В расчете не учитывается торможение и рассеяние молекул осевой части струи на фоне из молекул, рассеянных при прохождении газового потока через скиммер, и на фоне из молекул, проникающих в разреженную часть струи и пучок из вакуумной камеры [3]. Этот эффект тем сильнее, чем меньше  $M$ , т. е. увеличивается при выделении теплоты конденсации. Кластеры из-за их более высокой массы менее чувствительны к торможению на фоне, чем молекулы. Поэтому с увеличением расхода газа (увеличением плотности фонового газа в вакуумной камере) уменьшение  $J_M(P_0)$  в эксперименте может быть более быстрым, чем при расчете. При этом на зависимости  $J(P_0)$  может появиться резко выраженный минимум [3, 47], а пучок с увеличением  $P_0$  станет еще более кластеризованным, т. е. зависимость  $q(P_0)$  (см. рис. 4) станет еще круче. Следующее упрощение расчета заключается в том, что в (9) для всех кластеров число Маха на входе в скиммер полагается равным  $M_C(N) = \sqrt{NM}$ , а величина  $M$  рассчитывается в предположении сплошного рас-

ширения вплоть до скиммера. Однако в реальных условиях при малых значениях произведения  $P_0 d_*$  переход к бесстолкновительному режиму расширения газа в струе и «замораживание» М происходит до скиммера в некоторой точке  $\bar{x}_f = x_f/d_*$ . Влияние этого эффекта на параметры молекулярного пучка без кластеров рассмотрено в работе [10]. Для кластеров  $\bar{x}_f(N)$  уменьшается с ростом  $N$ . Поэтому увеличение скорости направленного движения частиц из-за выделения теплоты конденсации в пучковых измерениях наблюдалось только для молекул и кластеров размером  $N \leq 4$  [46]. Скорость  $U$  больших кластеров не увеличивается [48]. Все эти эффекты влияют на экспериментальные зависимости  $J(P_0)$  и объясняют их расхождение с расчетными на рис. 4.

В данных расчетах для расширения за срезом сопла принято  $\gamma = 1.4$ , т. е. считалось, что энергия колебательных степеней свободы молекул «заморожена». При расширении без конденсации это предположение полностью выполняется [9]. Однако при возникновении в струе критического для начала конденсации пересыщения необходимо учитывать то, что практически при каждом столкновении колебательно-возбужденной молекулы с кластером происходит сброс колебательной энергии в кластер и быстрая термализация этой энергии в кластере [11–13]. В работе [16] экспериментально показано, что даже слабое колебательное возбуждение молекул в струе подавляет образование зародышей конденсации и сдвигает начало конденсации в область более высоких значений плотности газа в сопловом источнике. Мы не стали усложнять процедуру расчета конденсации  $\text{N}_2\text{O}$  и  $\text{CO}_2$  в струе при изменении  $T_0$  введением полученных нами в работе [13] размерных зависимостей скорости  $V$ – $T$ -релаксации молекул  $\text{N}_2\text{O}$  и  $\text{CO}_2$  на кластерах, а поступили проще. Оказалось, что расчет хорошо согласуется с экспериментом, если при изменении температуры  $T_0$  определенным образом поправить величину энталпии связи молекулы в димере  $h_2$  в (8). При повышении  $T_0$  энталпия  $h_2$  кластеров  $(\text{N}_2\text{O})_2$  и  $(\text{CO}_2)_2$  уменьшалась, а при уменьшении  $T_0$  — увеличивалась относительно исходного значения, полученного при  $T_0 = 285$  К. Такая процедура учитывала негативное влияние колебательной энергии на образование зародышей конденсации и рост кластеров. Хорошее согласие с экспериментом для зависимостей  $J(T_0)$  и  $\bar{N}(T_0)$  было получено, когда изменение  $h_2$  совпало с изменением удельной колебательной энталпии газа в сопловом источнике. Пример такого расчета приведен на рис. 5.

На рис. 5 сплошными линиями показаны рассчи-



**Рис. 5.** Расчетные зависимости числа Maxa  $M$ , доли конденсата  $q_j$  в струе, полной интенсивности  $J$  пучка, среднего размера кластеров  $\bar{N}$  в пучке  $\text{N}_2\text{O}$  от температуры газа в сопловом источнике (сплошные линии). Также показаны экспериментальная зависимость  $J(T_0)$  (пунктирная линия) и измеренные значения  $\bar{N}$  в пучке  $\text{N}_2\text{O}$ , которые соответствуют точкам 1, 3 на рис. 4. Вертикальной стрелкой отмечено значение температуры, соответствующее началу развитой конденсации в струе  $\text{N}_2\text{O}$

танные для  $\text{N}_2\text{O}$  при  $P_0 = 4.37 \cdot 10^4$  Па,  $d_* = 1$  мм зависимости интенсивности пучка  $J$  и размера кластеров в пучке  $\bar{N}$ , а также числа Maxa  $M$  и доли конденсата  $q_j$  в струе при  $x/d_* = 100$  от температуры. Экспериментальная (штриховая линия) и расчетная зависимости  $J(T_0)$  даны в относительных единицах и совмещены в минимуме. Наличие минимума на кривых  $J(T_0)$  объясняется теми же причинами, что и начало резкого роста на кривых  $J(P_0)$  на рис. 4. На рис. 5 показаны также величины  $\bar{N}$ , которые соответствуют нашим экспериментальным данным на рис. 4 (см. точки 1, 3). При этом значения температуры  $T_0$  для каждой величины  $\bar{N}$  получены с помощью комплекса подобия, обобщающего одинаковые условия конденсации газа в струе за звуковым соплом [49]. Константы комплекса получены в данной работе (см. ниже). Видно хорошее согласие расчета с экспериментом. Некоторое превышение по величине экспериментальных над расчетными значениями  $\bar{N}(T_0)$  в области низких  $T_0$  связано с ухудшением точности комплекса подобия при расширении области значений  $T_0$ , что поясним ниже.

Параметры газа  $P_0 = P_{0,C}$ ,  $T_0 = T_{0,C}$ , при которых рост доли конденсата в струе вызывает рост интенсивности пучка  $J(P_0, T_0)$  (значения  $P_{0,C}$ ,  $T_{0,C}$

отмечены на рис. 4, 5 вертикальными стрелками), были названы нами параметрами перехода к развитой конденсации газа в струе [18]. В расчетах при варьировании параметров  $P_0$ ,  $T_0$  и  $d_*$  были получены зависимости, связывающие  $P_{0,C}$ ,  $T_{0,C}$  и  $d_*$ , которые полностью совпали с экспериментальными и обобщились комплексом, предложенным в работе [49],

$$A_C = P_{0,C} T_{0,C}^{-\alpha} d_*^\beta, \quad (10)$$

где  $A_C$ ,  $\alpha$ ,  $\beta$  — эмпирические константы. Варьированием параметров  $P_0$ ,  $T_0$  и  $d_*$  было получено, соответственно, для  $N_2O$  и  $CO_2$ :  $\beta = 0.7$ ,  $0.6$ ,  $\alpha = 4.85$ ,  $4.45$ ,  $A_C = 5.2 \cdot 10^{-8}$  Па · мм $^{0.7}$  · К $^{-4.85}$ ,  $3.5 \cdot 10^{-7}$  Па · мм $^{0.6}$  · К $^{-4.45}$ . Легко показать, что комплекс (10) определяет постоянство числа столкновений между молекулами в струе в области пересыщенного состояния газа [3]. Поэтому, используя формулы (10), можно с хорошей точностью сопоставлять параметры конденсированной фазы, полученные при разных значениях  $P_0$ ,  $T_0$  и  $d_*$ .

Как видно из (10), параметры  $P_{0,C}$  и  $T_{0,C}$ , соответствующие переходу к развитой конденсации, связаны зависимостью, подобной изэнтропической зависимости,

$$P_0 T_0^{-\gamma_0 / (\gamma_0 - 1)} = P_j T_j^{-\gamma_0 / (\gamma_0 - 1)},$$

для параметров газа в сопловом источнике и струе. Поэтому можно ввести понятие эффективного показателя адиабаты,  $\gamma_{eff}$ , для расширения газа с конденсацией и из равенства  $\alpha = \gamma_{eff} / (\gamma_{eff} - 1)$  определить величину  $\gamma_{eff}$ . И в расчетах, и в экспериментах при изменении  $T_0$  в области 240–320 К и  $d_*$  от 0.5 до 5 мм для  $N_2O$  и  $CO_2$ , соответственно, получено  $\gamma_{eff} = 1.26$ ,  $1.29$ . Для этих газов при  $T = 290$  К значения  $\gamma_0 \approx 1.3$  [50]. То, что величины  $\gamma_{eff}$  оказались несколько меньше  $\gamma_0$ , объясняется эффектом тепловыделения при образовании зародышей конденсации и колебательной релаксации при увеличении  $P_0$  до начала развитой конденсации. Из-за более пологой  $P-T$ -кривой фазового перехода для  $N_2O$  по сравнению с  $CO_2$  пересыщение  $N_2O$  в струе достигается при более высокой плотности газа в сопловом источнике. Поэтому начальный запас колебательной энергии газа  $N_2O$  выше, чем у  $CO_2$ , и  $\gamma_{eff}(N_2O) < \gamma_{eff}(CO_2)$ . Кроме того, необходимо отметить, что константы в зависимости (10) справедливы в узкой области значений  $T_0$ . Очевидно поэтому при низких  $T_0$  на рис. 5 экспериментальные точки оказались выше расчетной кривой  $\bar{N}(T_0)$ .

## 4. ЗАКЛЮЧЕНИЕ

В целом предложенная модель расчета на основе реальных физических характеристик кластеров обеспечивает получение достаточно полных и надежных данных о механизмах образования и роста кластеров в сверхзвуковых свободных струях молекулярных газов и позволяет установить связь между параметрами газа в сопловом источнике, струе и пучке, сформированном из осевой трубы тока струи.

В качестве естественного развития модели конденсации газа в сверхзвуковых струях необходимо уточнить кинетику образования зародышей конденсации. При этом существенные трудности классической кинетики (пренебрежение неизотермичностью, неравновесностью, дискретностью оси размеров) могут быть преодолены прямым моделированием последовательности элементарных актов конденсации молекул С на кластере  $C_N$ :  $C_N + C \leftrightarrow C_{N+1}$ . Из-за малого размера зародышей конденсации число таких реакций ограничено, что упростит моделирование.

Работа выполнена при поддержке РФФИ (грант № 01-02-17372).

## ЛИТЕРАТУРА

1. *Atomic and Molecular Beams — the State of the Art 2000*, ed. by R. Campargue, Springer-Verlag, Berlin (2001).
2. C. Bobbert, S. Schuette, C. Steinbach et al., Eur. Phys. J. D **19**, 183 (2002).
3. А. А. Востриков, Ю. С. Куснер, А. К. Ребров и др., Ж. прикл. мех. техн. физ. № 2, 34 (1975).
4. Я. И. Френкель, *Кинетическая теория жидкости*, Наука, Ленинград (1975).
5. Дж. Федер, Дж. Хирс, Дж. Лоте и др., в кн. *Гетерогенное горение*, Мир, Москва (1967), с. 469.
6. А. А. Лушников, А. Г. Сутугин, Успехи химии **45**, 385 (1976).
7. А. А. Востриков, Д. Ю. Дубов, Письма в ЖТФ **10**, 31 (1984).
8. А. А. Востриков, Д. Ю. Дубов, Препринт № 112-84 ИТ СО АН СССР, Новосибирск (1984).
9. A. E. Beylich, Phys. Fluids **14**, 898 (1971).
10. А. Л. Стасенко, Инж.-физ. ж. **16**, 9 (1969).

11. А. А. Востриков, С. Г. Миронов, Б. Е. Семячкин, ЖТФ **53**, 81 (1983).
12. А. А. Востриков, С. Г. Миронов, ЖТФ **54**, 417 (1984).
13. A. A. Vostrikov and S. G. Mironov, Chem. Phys. Lett. **101**, 583 (1983).
14. A. A. Vostrikov, D. Yu. Dubov, and V. P. Gilyova, Z. Phys. D **20**, 205 (1991).
15. А. А. Востриков, В. П. Гилева, Письма в ЖТФ **20**, вып. 15, 40 (1994).
16. И. М. Бетеров, Ю. В. Бржазовский, А. А. Востриков и др., КЭ **7**, 2443 (1980).
17. А. А. Востриков, С. Г. Миронов, А. К. Ребров и др., ЖТФ **49**, 2680 (1979).
18. А. А. Востриков, ЖТФ **54**, 327 (1984).
19. R. D. Etters, K. Flurchik, R. P. Ran et al., J. Chem. Phys. **75**, 929 (1981).
20. Ю. А. Алексеев, В. Н. Богомолов, В. А. Егоров, Письма в ЖЭТФ **36**, 384 (1982).
21. С. В. Дроздов, А. А. Востриков, Письма в ЖТФ **26**, вып. 9, 81 (2000).
22. Л. М. Давыдов, Изв. АН СССР, МЖГ № 3, 66 (1971).
23. Е. М. Лифшиц, Л. П. Питаевский, *Физическая кинетика*, Наука, Москва (1979).
24. Ф. Гудман, Г. Вахман, *Динамика рассеяния газа поверхностью*, Мир, Москва (1980).
25. A. A. Vostrikov and D. Yu. Dubov, Z. Phys. D **20**, 429 (1991).
26. A. A. Vostrikov and D. Yu. Dubov, J. Aerosol Sci. **24**, S175 (1993).
27. А. А. Востриков, Д. Ю. Дубов, ЖТФ **64**, вып. 12, 137 (1994).
28. W. G. Dorfeld and J. B. Hudson, J. Chem. Phys. **59**, 1253 (1973).
29. Л. Д. Ландау, Е. М. Лифшиц, *Статистическая физика*, ч. 1, Наука, Москва (1976).
30. В. А. Жохов, А. А. Хомутский, *Атлас сверхзвуковых течений свободнорасширяющегося идеальноного газа, истекающего из осесимметричного сопла*, Изд-во ЦАГИ, Москва (1966).
31. H. Ashkenas and F. Sherman, in *Proc. 4<sup>th</sup> Int. Symp. on Rarefied Gas Dynamics*, Academ. Press, New York (1966), Vol. 2, p. 84.
32. А. А. Востриков, Д. Ю. Дубов, А. А. Агарков, Письма в ЖЭТФ **63**, 915 (1996).
33. G. Torchet, H. Bouchier, J. Farges et al., J. Chem. Phys. **81**, 2137 (1984).
34. А. А. Востриков, Д. Ю. Дубов, А. А. Агарков, ТВТ **39**, 26 (2001).
35. А. А. Востриков, Д. Ю. Дубов, М. Р. Предтеченский, Препринт ИТ СО АН СССР № 150-86, Новосибирск (1986).
36. O. Echt, M. Knapp, K. Sattler et al., Z. Phys. B **53**, 71 (1983).
37. J. M. Soler, N. Garcia, O. Echt et al., Phys. Rev. Lett. **49**, 1857 (1982).
38. С. В. Дроздов, А. А. Востриков, Письма в ЖТФ **26**, вып. 11, 90 (2000).
39. А. А. Востриков, Д. Ю. Дубов, М. Р. Предтеченский, ЖТФ **57**, вып. 4, 760 (1987).
40. А. А. Востриков, Д. Ю. Дубов, В. П. Гилева, ЖТФ **59**, вып. 8, 52 (1989).
41. А. А. Востриков, Ю. С. Куснер, А. К. Ребров и др., ПТЭ № 1, 177 (1975).
42. A. A. Vostrikov, S. G. Mironov, and B. E. Semyachkin, Fluid Mech. — Sov. Res. **11**, № 4, 98 (1982).
43. А. А. Востриков, Д. Ю. Дубов, И. В. Самойлов, ЖТФ **64**, вып. 12, 120 (1994).
44. O. F. Hagena and W. Obert, J. Chem. Phys. **56**, 1793 (1972).
45. G. D. Stein and J. A. Armstrong, J. Chem. Phys. **58**, 1999 (1973).
46. D. Golomb, R. E. Good, A. B. Bailey et al., J. Chem. Phys. **57**, 3844 (1972).
47. А. А. Востриков, В. В. Григорьев, Д. Ю. Дубов и др., Письма в ЖТФ **18**, вып. 19, 25 (1992).
48. D. Dreyfuss and H. Y. Wachman, J. Chem. Phys. **76**, 2031 (1982).
49. O. F. Hagena, Z. Phys. D **4**, 101 (1987).
50. *Handbook of Chemistry and Physics*, ed. by C. D. Hodgman, Rubbers Publishing Co., Cleveland, USA (1960).